

شناسایی سرطان پوست براساس الگوی حرارتی در تصاویر فروسرخ

زمینه و هدف: سرطان پوست شایع‌ترین نوع سرطان بوده و ۷۵٪ کل موارد سرطان را در جهان تشکیل می‌دهد. ملانوم بدخیم، تهاجمی‌ترین نوع سرطان پوست است که بسیار بدخیم و کشنده است. هدف از انجام این مطالعه، ارزیابی الگوی حرارتی تصاویر فروسرخ در افتراق ضایعات خوش‌خیم و بدخیم پوستی بود.

روش اجرا: مطالعه‌ی حاضر برروی ۱۲۰ نفر (۶۰ نفر زن و ۶۰ نفر مرد) دارای ضایعه‌ی مشکوک به ملانوم بدخیم صورت گرفت و تشخیص نوع ضایعه (خوش‌خیمی یا بدخیمی) براساس الگوی حرارتی و با استفاده از روش کلاستریندی (FCM) Fuzzy C-Means انجام شد. در این تصویربرداری، تفاوت در پاسخ‌های حرارتی بین بافت سالم و ضایعه مقایسه و داده‌های بهدست آمده با نتایج بیوپسی مقایسه شد.

یافته‌ها: در ۱۲۰ نمونه‌ی مورد مطالعه، ۳ مورد سرطان پوست (۲ مرد و ۱ زن) وجود داشت که با الگوی حرارتی تصاویر فروسرخ نیز قابل شناسایی بودند.

نتیجه‌گیری: در حال حاضر روش‌های جدیدی برای تشخیص سرطان پوست به‌ویژه ابزارهای تشخیصی غیرتهاجمی، در آزمایشگاه‌های متعدد کشف شده است. روش ارائه شده در این مقاله به عنوان یک روش غیرتهاجمی و مقرون‌به‌صرفه برای تشخیص سرطان پوست مورد توجه قرار می‌گیرد.

کلیدواژه‌ها: پوست، سرطان پوست، ملانوم بدخیم، ترموگرافی، الگوریتم خوش‌بندی

پذیرش مقاله: ۱۳۹۳/۰۳/۲۲

دریافت مقاله: ۱۳۹۳/۰۵/۰۳

پوست و زیبایی؛ تابستان ۱۳۹۳، دوره‌ی ۵ (۲): ۸۹-۹۸

فاطمه ولی‌پوری گودرزی^۱

دکتر جواد حدادنیا^۱

دکتر مریم هاشمیان^۲

۱. گروه مهندسی پزشکی، دانشگاه حکیم سبزواری، سبزوار، ایران

۲. دانشکده‌ی پزشکی، دانشگاه علوم پزشکی سبزوار، سبزوار، ایران

نویسنده‌ی مسئول:

فاطمه ولی‌پور گودرزی

سبزوار، دانشگاه حکیم سبزواری.

پست الکترونیک:

fatemeh.goodarzi10@gmail.com

تعارض منافع: اعلام نشده است.

confocal scanning laser microscopy, laser ultrasound and MRI, doppler perfusion imaging)

در حال آزمایش است. هر روش مزایا و معایب منحصر به‌فردی دارد که بسیاری از آن‌ها یک مصالحه بین کارایی و دقت در مقابل سهولت استفاده و ملاحظات هزینه دربر خواهد داشت. در مقابل در این مقاله برای نخستین بار از ترموگرافی فروسرخ Infrared Thermography (IRT) به عنوان یک روش غیرتهاجمی و مقرون‌به‌صرفه برای تشخیص سرطان پوست از طریق اندازه‌گیری درجهٔ حرارت محلی پوست استفاده شده است. شواهد زیادی وجود دارد که نشان می‌دهد بیماری و یا انحراف از عملکرد طبیعی با تغییرات درجهٔ حرارت بدن، که دوباره دمای پوست

مقدمه

در سال ۲۰۱۰ به‌تنهایی، حدود ۶۸۷۲۰ ملانوما با حدود ۸۶۵۰ مورد منجر به مرگ در ایالات متحده تشخیص داده شد^۱. تا به امروز، تنها راه درمان مؤثر برای ملانوم جراحی است، بنابراین کلید بقای طولانی، تشخیص زودهنگام است^۲. روش‌های جدید برای تشخیص سرطان پوست به‌ویژه ابزارهای تشخیصی غیرتهاجمی، در آزمایشگاه‌های متعدد کشف شده است. همراه با روش‌های جراحی، روش‌هایی مانند digital photography، سیستم‌های تصویربرداری dermoscopy، MelaFind)، ultispectral (optical coherence tomography، مبتنی بر لیزر،

تشخیصی برای کمک به تشخیص بیماری را امری ضروری می‌سازد، در مطالعه‌ی حاضر برآن شدیم تا با استفاده از روش ترمومتری (IRT) به عنوان یک روش مقرون‌به‌صرفه و غیرتهاجمی به تشخیص زود هنگام ملانوم بدخیم در افراد مراجعه‌کننده به کلینیک پوست در شهرستان‌های سبزوار و مشهد پردازیم تا با استفاده از نتایج آن، بتوان به پزشکان جهت تشخیص سریع سرطان مبتتنی بر تجزیه و تحلیل تصاویر حرارتی یاری رساند.

روش اجرا

مطالعه‌ی حاضر یک مطالعه مقدماتی است. نمونه‌ی پژوهش، ۱۲۰ نفر از زنان و مردان مراجعه‌کننده به درمانگاه‌های پوست در شهرستان‌های سبزوار و مشهد که دارای ضایعه و مشکوک به سرطان پوست بودند. روش انجام کار و بی‌خطربودن آن برای کلیه افراد توضیح داده شد و از کلیه افراد رضایت‌نامه‌ی کتبی گرفته شد. بعد از تصویربرداری IR از ضایعه، تشخیص نوع ضایعه (سرطانی یا غیرسرطانی) براساس الگوی حرارتی و استفاده از روش کلاسی‌تریندی Fuzzy C-Means (FCM) که بر روی تصاویر حرارتی به دست آمده از دوربین فروسرخ عمل می‌کند و توسط نرم‌افزار MATLAB پیاده‌سازی شده است، محاسبه شد.

برای تشخیص سرطان از دوربین گرمایی (شرکت SDS و سری D) استفاده شد که محدوده اندازه‌گیری دمای دمای 20°C - 250°C ، دقت اندازه‌گیری ($\pm 2^{\circ}\text{C}$)، طیف ۸ تا ۱۴ میکرومتر، تفکیک‌پذیری فضایی $2/2\text{mrad}$ و حساسیت دمایی 1°C دارد. جهت بررسی دقت کار، ضایعه در تمامی افراد بیوپسی شد و جهت تشخیص صحیح به آزمایشگاه آسیب‌شناسی ارسال و با نتایج تحقیق انجام شده مقایسه شد.

را تحت تأثیر قرار می‌دهد همراه هستند^۵. با این حال، در گذشته تصویربرداری فروسرخ (Infra Red) (IR)، به‌طور گستره‌های در پزشکی به‌دلیل استفاده‌ی پیش از موعد از فناوری، به رسمیت شناخته نشد^۶. چند دهه‌ی قبل، زمانی که دقت اندازه‌گیری درجه‌ی حرارت و قدرت تفکیک مکانی نامناسب و پیچیده بودند، ابزار پردازش تصویر در دسترس نبودند. این وضعیت به‌طور چشمگیری در اوایل ۱۹۹۰ تا ۲۰۰۰ میلادی تغییر یافت. پیشرفت در ابزار IR، پیاده‌سازی الگوریتم‌های پردازش تصویر دیجیتال و تصویربرداری IR پویا که داشمندان را نه تنها به تجزیه و تحلیل مکانی بلکه رفتار حرارتی زمانی (temporal) پوست قادر می‌سازد، پیشرفت‌ها در این زمینه را امکان‌پذیر می‌سازد^۷. کاربردهای این نوع تصویربرداری در پزشکی به سرعت در حال افزایش است.

هرچند که در برخی از مطالعات انجام شده در گذشته، برخی از محققان توانسته‌اند اختلاف دمایی را بین نواحی سالم و سرطانی پوست تشخیص دهند، اما تاکنون تحقیقی مبنی بر تشخیص خودکار سرطان پوست توسط IRT صورت نگرفته است. تصویربرداری فروسرخ یک روش تصویربرداری غیرتهاجمی است که به عنوان یک ابزار تشخیصی به کار می‌رود. منشأ اصلی اشعه‌های فروسرخ، گرمایی برخاسته از بدن‌های مختلف است که دمای آن‌ها از صفر مطلق بیشتر است. بنابراین ترمومتر از یک بیمار توزیع گرما در بدن را فراهم می‌کند^۸. برای ثبت تصاویر حرارتی از دوربین حرارتی استفاده می‌شود. این دوربین‌ها دارای مزیت‌های زیادی مانند هزینه‌ی پایین‌تر نسبت به روش‌های دیگر، غیرتهاجمی بودن، عدم تماس مستقیم، بدون تابش اشعه، کم حجم، قابل حمل و قابل استفاده در هر زاویه‌ای هستند^{۹-۱۰}.

بنابراین با توجه به تعداد بالای بیمارانی که هر ساله تشخیص داده می‌شوند و محدودیت‌های دسترسی به خدمات تخصصی سریع که توسعه‌ی ابزار

در روش پیشنهادی (FCM) که برای جداسازی خوشی متعلق به ضایعه مورد استفاده قرار می‌گیرد، بسیار به نویز (noise) حساس است. درنتیجه برای دقت در جداسازی، تصاویر باید از وضوح کافی برخوردار باشند و مرز بین لایه‌های رنگی تصویر به خوبی مشخص و از یکدیگر تفکیک‌پذیر باشند. درصورتی که تصاویر دارای نویز باشند، جداسازی بافت چربی توسط الگوریتم خوشبندی بهدرستی صورت نمی‌پذیرد. لذا برای حل این مشکل می‌توان از فیلترهای حذف نویز استفاده کرد و قابلیت تفکیک لبه‌های تصویر و درنتیجه کارایی الگوریتم خوشبندی را بهبود بخشید. لذا اولین قدم در این روش که به عنوان مرحله‌ی پیش‌پردازش درنظر گرفته می‌شود، شامل مراحل حذف نویز تصویر توسط فیلتر میانه و سپس تیزکردن تصویر توسط فیلتر Highboost پس از حذف نویز است.

حذف نویز با فیلتر غیرخطی میانه

فیلتر میانه، فیلتری غیرخطی است که از آن برای حذف نویزهای ضربه‌ای استفاده می‌شود^{۱۲}. تصاویر اولیه اغلب با نویز یا همان سیگنال‌های ناخواسته همراهند که گاهی سبب حذف، تضعیف اطلاعات و یا نویزها ضروری است؛ نظیر تصاویر پزشکی که وجود نویز در این تصاویر از دقت و وضوح تصویر می‌کاهد. برخی از این نویزها ممکن است که بهشت در فرایند پردازش تصویر به خصوص در تکیک‌هایی نظیر آشکارسازی لبه، جداسازی (segmentation) و (masking) شروع به پیمایش تشخیص بخش بخصوصی از تصویر تأثیرگذار باشند^{۱۳}. این فیلتر با انجام عمل **masking** تمام پیکسل‌های مجاور است. برای اعمال چنین فیلتری از یک ماسک 3×3 استفاده شده که این ماسک به صورت پیمایشی بر روی تمام پیکسل‌ها عمل پردازش را انجام می‌دهد؛ به عبارتی کل همسایگی‌های هدف را به صورت صعودی

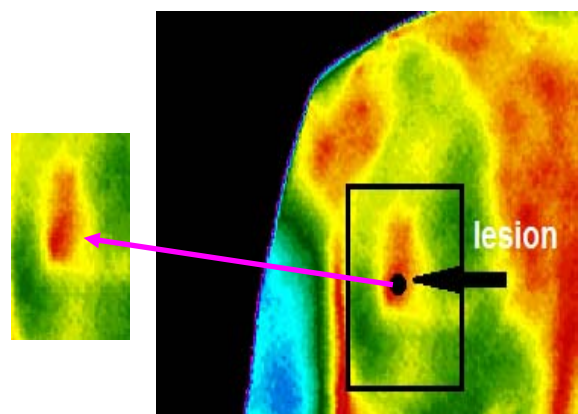
- اقدامات صورت گرفته قبل از انجام عکس‌برداری
- بهتر است قبل از انجام تست، بیمار در آرامش روحی قرار داشته باشد.
- فضا و محیط عکس‌برداری و انجام تست بهتر است تاریک باشد.
- از آن جایی که ضایعه بدون اثر خنک‌کنندگی نمی‌تواند در تصویر حرارتی تشخیص داده شود، یک نشانگر چسبنده‌ی مستطیل‌شکل که در تصویر حرارتی گرفته شده از بیمار (شکل ۱) به صورت یک نوار مشکی مشخص شده است، برای مشخص کردن محیط اطراف ضایعه موردنظر استفاده شد.
- با استفاده از یک سیستم خنک‌کننده‌ی پوست (DS-2600) جریانی از هوای سرد، به ناحیه علامت‌گذاری شده که شامل ضایعه و مناطق اطراف آن است، به مدت یک دقیقه اعمال شد.

زاویه عکس‌برداری

برای تشخیص سرطان پوست در هر ناحیه از بدن که دارای ضایعه‌ای مشکوک بود، تصویربرداری از جهت مقابله ضایعه صورت گرفت.

مرحله‌ی پیش‌پردازش

از آن جایی که الگوریتم خوشبندی به کار برده شده



ب

الف

شکل ۱: جداسازی اتوماتیک ناحیه موردنظر از تصویر حرارتی که شامل ضایعه و محیط اطراف آن است.

طراحی شده است به شکل ۳ الف اعمال شده که نتیجه‌ی حذف نویز آن در شکل ۳ ب مشاهده می‌شود.

تیزشدن تصویر توسط فیلتر Highboost

هدف اصلی از تیزسازی، مشخص کردن بهتر پرس‌های شدت روشنایی است. از آنجایی که در حوزه‌های مکان می‌توان از طریق محاسبه میانگین پیکسل‌ها در یک منطقه‌ی همسایگی تصویر را ماتسازی کرد و با توجه به این که محاسبه میانگین شبیه انتگرال‌گیری است، لذا می‌توان نتیجه گرفت که تیزسازی به وسیله‌ی اپراتورهای مشتق‌گیر ممکن است اساساً قدرت پاسخ عملگر مشتق‌گیر با میزان گسترش شدت روشنایی تصویر در نقطه‌ی اعمال عملگر نسبت دارد. بنابراین مشتق‌گیری از تصویر، لبه‌ها و سایر گسترش‌گری (مانند نویز) را بهبود داده و نقاطی که شدت روشنایی آن‌ها تغییرات آهسته‌تری دارد را تضعیف می‌کند^{۱۵}. بنابراین فیلترهای تیزکننده را براساس معادله‌ی مشتقات، مخصوصاً معادلات مرتبه‌ی اول و دوم که به همراه حاصل جمع نتیجه‌ی مشتق تصویر با خود تصویر هستند و مشتقات یک تابع دیجیتال را بر حسب تفاضل بیان می‌کنیم.

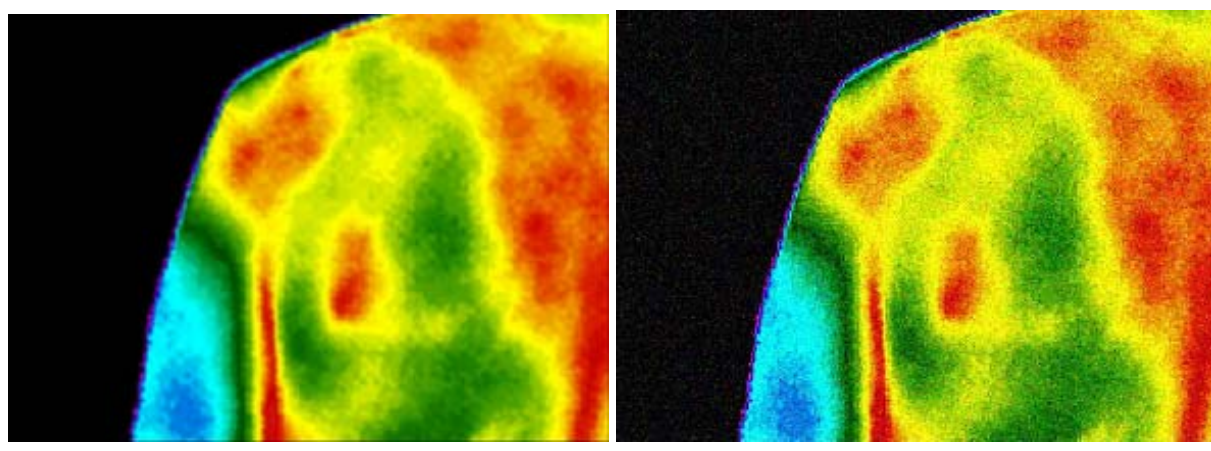
در شکل ۴ تأثیر اعمال فیلتر لاپلاسین به خوبی

Neighbourhood values:				
123	125	126	130	140
122	124	126	127	135
118	120	150	123	134
119	115	119	123	133
111	116	110	120	130

Median value: 124

شکل ۲: مثالی از نحوه عملکرد فیلتر میانه

مرتب می‌کند و عضو میانه‌ی اعداد مرتب شده را انتخاب و جایگزین پیکسل مرکزی می‌نماید. در شکل ۲ مثالی از نحوه عملکرد این فیلتر مشخص شده است. برای شروع پردازش بروز پیکسل‌های حاشیه به این دلیل که تعدادی از پیکسل‌های ماسک متناظر با تصویر، در خارج از پیکسل‌های تصویر قرار می‌گیرند، پس از masking، با حاشیه‌ی سیاه دور تا دور تصویر روبرو می‌شویم. برای اجتناب از این مشکل، می‌توان حاشیه‌ی تصویر اصلی را در کنار حاشیه‌ی قبلی کپی نمود و سپس شروع به پیمایش تصویر کرد یا این‌که حاشیه‌ی تصویر اصلی را با پیکسل‌هایی با شدت روشنایی صفر پر نمود^{۱۶}. فیلتر مذکور توسط نرم‌افزار MATLAB (MathWorks, Natick, MA, USA)



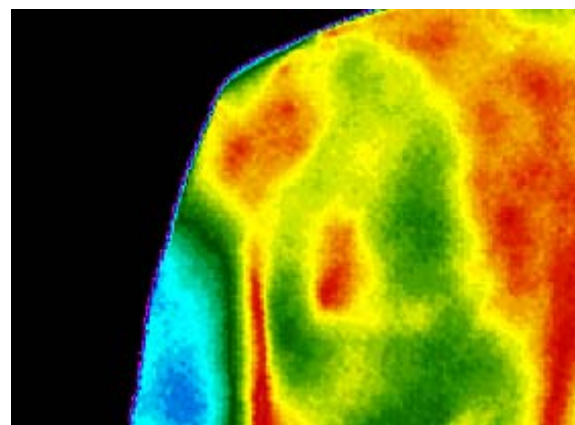
شکل ۳: تصویر ورودی نویزدار گرفته شده از بیمار که دارای ضایعه در سمت چپ پشت کمر خود می‌باشد: (الف) تصویر ورودی نویزدار، (ب) تصویر نویزدار پس از حذف نویز (اعمال فیلتر میانه).

جداسازی ضایعه و محیط اطراف آن

پس از انجام مراحل پیش‌پردازش، نوبت به مرحله‌ی جداسازی ناحیه‌ی موردنظر از تصویر می‌رسد. در این مرحله، سیستم به صورت خودکار ناحیه‌ی علامت‌گذاری شده ببروی بدن بیمار را که در تصویر به صورت یک ناحیه با باند مشکی مشخص شده است و شامل ضایعه و نواحی اطراف آن - که سرد شده‌اند - می‌باشد را جداسازی می‌نماید که نتیجه‌ی این جداسازی را در شکل ۱ مشاهده می‌کنید.

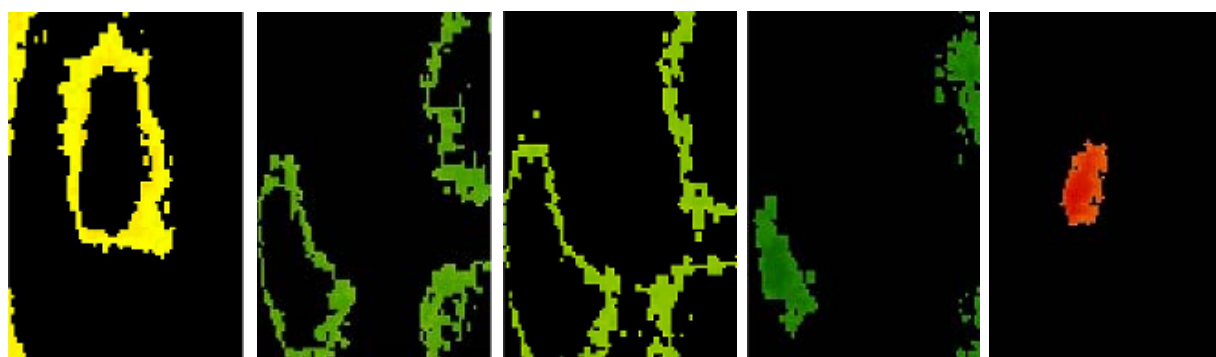
خوشبندی ناحیه‌ی موردنظر از تصویر

پس از جداسازی ناحیه‌ی موردنظر از تصویر، نوبت به مرحله‌ی خوشبندی آن، توسط الگوریتم خوشبندی فازی (FCM) می‌رسد، لذا در ادامه به توضیح مختصری در مورد این الگوریتم می‌پردازیم. نتیجه‌ی حاصل از این خوشبندی در شکل ۵ مشخص شده است.

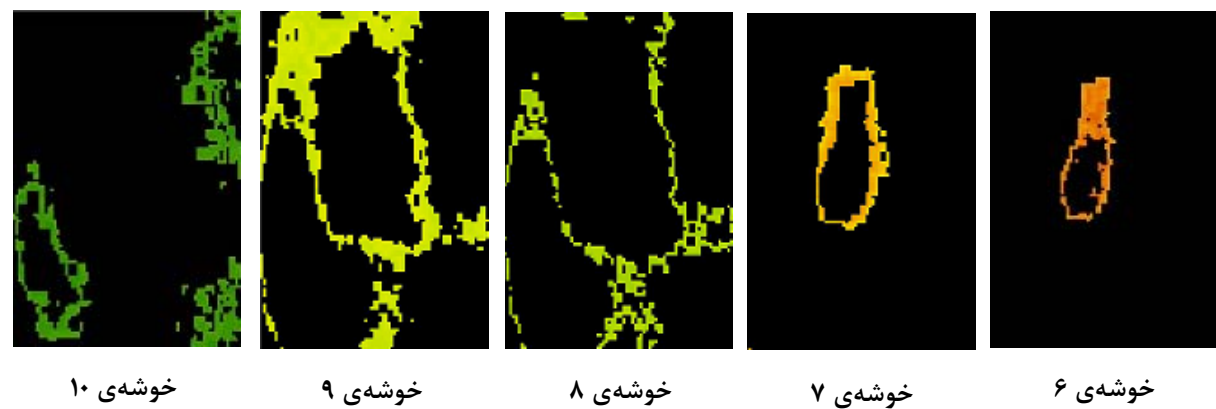


شکل ۴: تصویر ورودی نوبزدار پس از اعمال مراحل پیش‌پردازش (فیلتر میانه + فیلتر لاپلاسین)

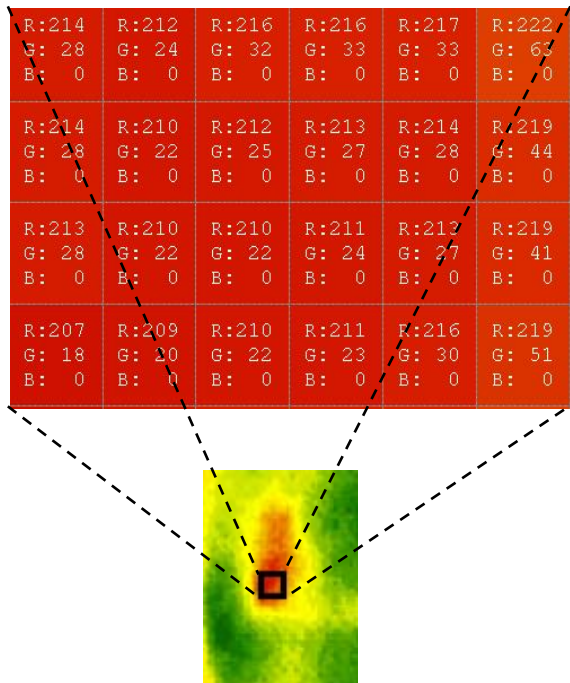
نشان داده شده است. اگر این تصویر را با تصویر ۳ ب مقایسه کنیم وضوح بالای تصویر مشخص است. بنابراین تصاویری که موردپردازش قرار می‌گیرند مانند شکل ۳ هستند.



شکل ۵: نتیجه‌ی اجرای الگوریتم خوشبندی FCM بر روی ناحیه‌ی موردنظر از تصویر.



شکل ۵: نتیجه‌ی اجرای الگوریتم خوشبندی FCM بر روی ناحیه‌ی موردنظر از تصویر.



شکل ۶: ناحیه‌ی موردنظر از تصویر حرارتی در فضای RGB به همراه مقادیر R، G و B برای بخشی از پیکسل‌های آن.

است:

۱. هر خوشه از تصویر از چپ به راست و از بالا به پایین، برای ثبت درجه حرارت هر پیکسل ۱ پیمایش شود.
۲. میانگین دمای تمام پیکسل‌های غیرصفر هر خوشه از تصویر محاسبه شود.
۳. اگر میانگین دمای خوشه‌ی مربوط به ضایعه (خوشه‌ی ۱) از میانگین دمای سایر خوشه‌ها بیشتر باشد ضایعه سرطانی است، در غیر این صورت سرطانی نیست.

یافته‌ها

نتیجه‌ی حاصل از خوشبندی FCM برروی ناحیه‌ی موردنظر از تصویر که شامل ضایعه و نواحی اطراف آن - که سرد شده‌اند - است در شکل ۵ مشخص شده است. همان‌طور که مشاهده می‌کنید، تعداد خوشه‌ها در اجرای الگوریتم FCM برای

تشخیص خوشه‌ی دربرگیرنده‌ی ضایعه

یک تصویر دیجیتال آرایه‌ای دوبعدی از پیکسل‌ها است به‌طوری که هر پیکسل آن دارای شدت روشنایی و یا رنگ خاصی است. الگوریتم پیشنهادی ما روی تصاویر حرارتی به‌دست‌آمده از دوربین فروسرخ عمل می‌کند و توسط نرم‌افزار MATLAB (MathWorks, Natick, MA, USA) پیاده‌سازی شده است. در محیط این نرم‌افزار یک تصویر حرارتی به‌صورت آرایه‌ی سه‌بعدی و در فضای RGB شناخته می‌شود. در فضای RGB متناظر با هر پیکسل سه عدد وجود دارد که هرکدام شدت یکی از سه رنگ اصلی قرمز، سبز و آبی را برای پیکسل نشان می‌دهد. اعداد مربوط به R، G و B برای هر پیکسل در بازه‌ی ۰-۲۲۵ قرار گرفته و ترکیب شده‌های مختلفی از این سه رنگ تمامی رنگ‌های موردنیاز را می‌سازند (شکل ۶). ناحیه‌ی موردنظر از تصویر حرارتی در فضای RGB را به همراه مقادیر R، G و B برای بخشی از پیکسل‌های آن نشان می‌دهد. بنابراین ضایعه در تصویر حرارتی که به‌صورت یک نقطه‌ی مشکی علامت‌گذاری شده است (شکل ۱)، دارای مقادیر خاصی از R، G و B می‌باشد که الگوریتم پیشنهادی ما به‌صورت هوشمند و کاملاً خودکار بخشی از شدت رنگ‌های R، G و B متعلق به ضایعه را درنظر گرفته و با مقادیر R، G و B خوشه‌های به‌دست‌آمده مقایسه می‌کند. درنهایت خوشه‌ای که شامل آن مقادیر از R، G و B باشد را به عنوان خوشه‌ی متعلق به ضایعه درنظر می‌گیرد و مرکز آن را در مکان اول از ماتریس مراکز خوشه‌ها (خوشه‌ی ۱) قرار می‌دهد (شکل ۵).

تشخیص خوشخیم یا بدخیم بودن ضایعه

پس از خوشبندی و تشخیص خوشه‌ی متعلق به ضایعه، نوبت به مرحله‌ی تشخیصی (سرطانی یا غیرسرطانی بودن ضایعه) توسط الگوی حرارتی می‌رسد. طبق این الگو هر نقطه از تصویر حرارتی دارای دمای بخصوصی است. نحوه‌ی اجرای این مرحله به‌صورت زیر

جدول ۱: میانگین دمای خوشها از تصویر مورد نظر

خوشی ۱	خوشی ۲	خوشی ۳	خوشی ۴	خوشی ۵	خوشی ۶	خوشی ۷	خوشی ۸	خوشی ۹	خوشی ۱۰
۲۸,۶۴ °C	۲۹,۰۴ °C	۲۸,۸۲ °C	۳۰,۶۲ °C	۳۱,۶۰ °C	۲۹,۸۵ °C	۲۸,۵۴ °C	۲۸,۷۳ °C	۲۸,۰۴ °C	۳۲,۶۵ °C

داد که اختلاف دما بین درجهٔ حرارت مناطق سالم و سرطانی پوست وجود دارد و همچنین با به کارگیری سیستم خنک کننده می‌توان اختلاف دمای بین ضایعه و بافت سالم اطراف آن را افزایش داد.

Centigul Herman و Herman ۲۰۱۱ نیز در سال ۲۰۱۱ موفق به مشاهدهٔ اختلاف دما بین بافت سالم و سرطانی پوست در تصاویر حرارتی شدند.^{۱۶} همچنین در سال ۲۰۱۲ Moustafa و همکاران با مطالعه‌ای که برای شناسایی سرطان پوست با استفاده از آنالیزهای تغییرات دمایی انجام دادند، دریافتند که تفاوت قابل توجه بین تابش حرارتی IR از مناطق سالم و سرطانی پوست، پتانسیلی را برای افتراق نقاط سرطانی پوست نسبت به نوع سالم آن نشان می‌دهد.^{۱۷}

سرطان در زندگی مدرن امروزی به دلیل عوامل بسیاری از جمله عادات افراد و قرارگرفتن در معرض اشعهٔ فرابینفشن رشد یافته است. علاوه بر این، افزایش قابل توجهی از تکنولوژی‌ها، به شناسایی انواع مختلفی از سرطان‌ها نسبت به قبل کمک کرده است. امروزه عموماً تشخیص سرطان پوست توسط روش‌های

تشخیص خوش‌خیمی یا بدخیمی ضایعه برابر با ۱۰ خوش و مرکز خوشی متعلق به ضایعه در مکان اول از ماتریس مراکز خوشها (خوشی ۱) درنظر گرفته شده است. میانگین دمای متعلق به هر خوش در جدول ۱ مشخص شده است.

بنابراین با توجه به میانگین دمای متعلق به هر خوش می‌توان نوع ضایعه را تشخیص داد که نتیجهٔ مربوط به این مرحلهٔ تشخیصی برروی تصویر به کاربرده شده در این مقاله، وجود سرطان پوست را برای فرد مبتلا به ضایعه نشان می‌دهد. نحوه محاسبه و مقادیر شایستگی‌های مدل نیز در جدول ۲ مشخص شده است.

بحث

طبق جستجوی انجام شده، این نخستین باری است که تشخیص خودکار سرطان پوست به روش ترموگرافی صورت می‌گیرد. در این تحقیق با دقت بالایی (۰/۹۸) موفق به تشخیص سرطان پوست شدیم. نتایج تجزیه و تحلیل صورت گرفته در این کار نشان

جدول ۲: ویژگی‌های الگوی حرارتی در افتراق ضایعات خوش‌خیم و بدخیم پوستی

ارزش	نحوهٔ محاسبه	ویژگی
۱	$Sen = \frac{TP}{TP + FN}$	حساسیت (Sensitivity)
۰/۶	$Spe = \frac{TN}{TN + FP}$	ویژگی (Specificity)
۰/۹۸	$Acc = \frac{TP + TN}{TN + FP + FN + TP}$	دقت (Accuracy)
۰/۴	$FPF = \frac{FP}{TN + FP}$	کسر مثبت نادرست (False Positive Fraction)
۰/۰	$FNF = \frac{FN}{FN + TP}$	کسر منفی نادرست (False Negative Fraction)

* TP = True Positive, TN = True Negative, FP = False Positive, FN = False Negative

پردازیم. هدف از انجام این کار، بررسی بیشتر روش‌های تکنولوژی IR و کاربردهایی است که تاکنون در تشخیص سرطان پوست رشد چندانی نداشته است. درواقع این تحقیق بهمنظور افزایش توانایی تشخیص با سطح ایمنی بالاتر صورت گرفت. با درنظرگرفتن تحقیق انجام شده، این روش می‌تواند به عنوان یک جایگزین مناسب، جهت تشخیص سرطان پوست نسبت به روش‌های امروزی درنظر گرفته شود. عدم تابش پرتوهای مضر یکی از مزیت‌های مهم این روش می‌باشد. بنابراین هرچند که در این تحقیق توانستیم فعالیت متابولیکی ضایعه‌ی ملانوم را با تصویربرداری فروسرخ تشخیص دهیم، اما با این حال ممکن است به کارهای بیشتری برای توسعه‌ی روشهای در آینده رخدخواهد داد نیاز داشته باشیم.

References

1. Skin Cancer Foundation. Available from: URL: <http://www.skincancer.org/skin-cancer-facts>. Accessed 2010.
2. Elder D. Tumor progression, early diagnosis and prognosis of melanoma. *Acta Oncol* 1999; 38: 535-47.
3. Wartman D, Weinstock M. Are we overemphasizing sun avoidance in protection from melanoma? *Cancer Epidemiol Biomarkers Prev* 2008; 17: 469-70.
4. Jones BF. A reappraisal of the use of infrared thermal image analysis in medicine. *IEEE Trans Med Imaging* 1998; 17: 1019-27.
5. Anbar M. Clinical thermal imaging today. *IEEE Eng Med Biol Mag* 1998; 17: 25-33.
6. Anbar M, Gratt BM, Hong D. Thermology and facial telethermography. Part I: history and technical review. *Dentomaxillofac Radiol* 1998; 27: 61-7.
7. Jones BF, Plassmann P. Digital infrared thermal imaging of human skin. *IEEE Eng Med Biol Mag* 2002; 21: 41-8.
8. Diakides NA, Bronzino JD (eds.). *Infrared imaging in medicine*. Boca Raton, Fl. CRC Press. 2007.
9. Arfaoui A, Polidori G, Taiar R, et al. Infrared thermography in sports activity 2012. Available from: www.intechopen.com/download/pdf/32034.
10. Diakides NA. New developments in low cost infrared imaging systems. *Eur J Thermol* 1997; 7: 213-8.
11. White T, Marshall C, Butler N. Uncooled infrared sensor with digital focal plane array for medical applications, in proc. 18th International conference of IEEE Engineering in Medicine and Biology Society. Amsterdam 1996: 1062.
12. Shapiro LG, Stokman GC (eds.). *Computer vision*. 1st Ed, New Jersey. Printice Hall. 2011: pp.

پیچیده‌ای مانند نمونه‌برداری از پوست انجام می‌شود که بسیار زمان‌بر و پرهزینه است. در زمینه‌ی پزشکی، فناوری‌های جدید نه تنها برای بهبود کیفیت زندگی بیماران، بلکه برای افراد سالم نیز کاربردهایی دارند. فناوری فروسرخ یکی از فناوری‌هایی است که برخی کاربردها در هر دو زمینه‌ی پزشکی و بیولوژیکی دارد. تاکنون IRT به طور موفقیت‌آمیزی در تشخیص سرطان سینه، دیابت و ... استفاده شده است^{۱۸}، اما تا به حال تحقیقی مبنی بر تشخیص خودکار سرطان پوست توسط IRT صورت نگرفته است. در این تحقیق کوشیدیم تا با استفاده از روش ترمومتری (IRT) که از مزایای غیرتهاجمی‌بودن، بدون تماس و هزینه‌ی مناسب برخوردار است و همچنین استفاده از تکنیک‌های پردازش تصاویر به تشخیص سرطان پوست

279-325.

13. Kanta Mativa I, Nag S, Banayopadhyag S. A novel edge detection algorithm for digital mammogram. Journal of Information and Communication Technology Research 2012; 2: 207-15.
14. Umbaugh S. Computer vision and image processing. Printice Hall, New Jersy; 1998: 209.
15. Gonzales RC, Woods RE (eds.). Digital image processing. 2nd Ed; Prentice Hall; 2002.
16. Herman C, Cetingul MP. Quantitative visualization and detection of skin cancer using dynamic thermal imaging. J Vis Exp 2011; 51.
17. Moustafa AMN, Muhammed HH, Hassan M. Skin cancer detection using temperature variation analysis. Engineering 2013; 5: 18-21.
18. Lahiri BB, Bagavathiappan S, Jayakumar T, Philip J. Medical application of infrared thermography. Infrared Physics & Technology 2012; 55: 221-35.

Diagnosis of skin cancer based on thermal model in infrared images

Fatemeh Valipoori Goodarzi, MSc¹
Javad Hadadnia, PhD¹
Maryam Hashemian, MD²

1. Department of Electrical and Computer Engineering, Hakim Sabzevari University, Sabzevar, Iran.
2. Faculty of Medicine, Sabzevar University of Medical Sciences, Sabzevar, Iran.

Background and Aim: Skin cancer is the most common type of cancer constitutes and 75% of all cancers in the world. Malignant melanoma is the most invasive and lethal form of skin cancer. The objective of this study was to evaluate infrared thermography in differentiation of benign and malignant skin lesions.

Methods: This study was conducted on 120 patients (60 female, 60 male) with a lesion suspicious for melanoma and identifying the type of lesion (benign or malignant) based on thermal model using Fuzzy C-Means (FCM) clustering. In this imaging method, the difference on temperature responses between the normal and abnormal tissue was compared and data obtained was compared with biopsy results.

Results: In 120 cases studied, 3 cases of skin cancer (2 male, 1 female) were found which all could be detected based on analysis of thermal images.

Conclusion: At present, new methods for the detection of skin cancer, especially non-invasive diagnostic tools, have been discovered in several laboratories. The method presented in this paper could be considered as a non-invasive and cost effective method for the detection of skin cancer.

Keywords: skin, skin cancer, melanoma, thermography, focused clustering algorithm

Received: Jun 12, 2014 Accepted: Jul 25, 2014

Dermatology and Cosmetic 2014; 5 (2): 89-98

Corresponding Author:
Fatemeh Valipoori Goodarzi, MSc

Hakim Sabzevari University, Sabzevar, Iran.
Email: fatemeh.goodarzi10@gmail.com

Conflict of interest: None to declare